

## ارائه‌ی الگوریتمی اصلاحی برای روش‌های گرادیان مزدوج غیرخطی به منظور محاسبه‌ی شاخص قابلیت اعتماد سازه‌ها\*

بهروز کشته‌گر<sup>(۱)</sup> محمود میری<sup>(۲)</sup> ناصر شابختی<sup>(۳)</sup>

**چکیده** در تحلیل قابلیت اعتماد سازه‌ها محاسبه‌ی صحیح شاخص قابلیت اعتماد بسیار حائز اهمیت است. به علت ماهیت غیرخطی و همچنین داشتن چندین نقطه کمینه‌ی موضعی در برخی از توابع شرایط حدی، روش‌های محاسباتی قابلیت اعتماد، ممکن است برآورد مناسبی از احتمال خرابی ارائه ندهند و به سمت این نقاط کمینه‌ی موضعی همگرا گردند. در این مقاله، ابتدا فرمولاسیون گرادیان مزدوج غیرخطی ارائه شده توسط (FR) و (DY) برای محاسبه‌ی شاخص قابلیت اعتماد بیان و سپس کارایی و همگرایی روش‌های گرادیان مزدوج غیرخطی برای مثال‌های مختلفی بررسی شده است. از آن جایی که روش‌های ارائه شده گرادیان مزدوج FR و DY در برخی از این مثال‌ها همگرا نشده‌اند لذا طی یک الگوریتم ترکیبی بهینه‌سازی، یک روش جدید اصلاح شده گرادیان مزدوج غیرخطی به نحوی که بتوان به طور مناسب همگرایی مسائل قابلیت اعتماد را تضمین نمود، ارائه شده است. نتایج بدست آمده نشان می‌دهد که روش‌های جدید گرادیان مزدوج غیرخطی اصلاح شده، نسبت به روش‌های قدیمی با سرعت و تعداد تکرار کمتری همگرا شده و از کارایی و دقت کافی جهت محاسبه احتمال خرابی سازه‌ها، برخوردار هستند.

**واژه‌های کلیدی** روش بهینه‌سازی، گرادیان مزدوج غیرخطی، شاخص قابلیت اعتماد، روش ترکیبی بهینه‌سازی، احتمال خرابی.

## A proposed Improve Algorithm for Nonlinear Conjugate Gradient Optimization Methods the Objective of the Computation of Structural Reliability Index

B. Keshtgar

M. Miri

N. Shabakhty

**Abstract** Accurate calculation of reliability index is very important for the reliability analysis of structures. In some limit state functions with nonlinear characteristic and several local optimum design points, the computational reliability methods may not appropriately determine the failure probability, and iterative reliability approaches may be converged to local optimum design points. In this paper, formulation of nonlinear conjugate gradient methods such as: Fletcher & Reeves (FR) and Dai & Yuan (DY) were proposed for computing the reliability index. Then, the efficiency, capacity and robustness of the conjugate gradient were investigated through several reliability problems. The FR and DY algorithms were diverged in some examples. Therefore, a new modified nonlinear conjugate gradient method was proposed by using the hybrid optimization algorithm to ensure accurate convergence of reliability index. The results illustrated that the modified nonlinear conjugate gradient methods were converged with less run-times and number of iterations in comparison with the FR and DY methods, and robust, efficient and stable algorithms are to calculate the structural failure probability.

**Key Words** Optimization Method, Nonlinear Conjugate Gradient, Reliability Index, Hybrid Optimization Method, Failure Probability

★ تاریخ دریافت مقاله ۸۹/۸/۳۱ و تاریخ پذیرش آن ۹۱/۶/۳۰ می‌باشد.

(۱) نویسنده‌ی مسؤول: دانشجوی دکتری سازه، دانشکده‌ی مهندسی، گروه عمران، دانشگاه سیستان و بلوچستان.

(۲) استادیار، دانشکده‌ی مهندسی، گروه عمران، دانشگاه سیستان و بلوچستان.

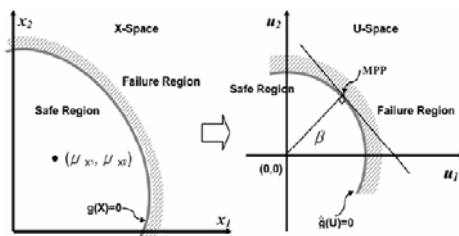
(۳) استادیار، دانشکده‌ی مهندسی، گروه عمران، دانشگاه سیستان و بلوچستان.

زیر انتقال می‌یابند:

$$u_i = \frac{(x_i - \mu_{x_i})}{\sigma_{x_i}} \quad (1)$$

که  $\mu_{x_i}$  و  $\sigma_{x_i}$  به ترتیب مقدار میانگین و انحراف معیار متغیر تصادفی  $x_i$  و  $u_i$  متغیر تصادفی توزیع نرمال استاندارد با میانگین صفر و انحراف معیار واحد می‌باشند. فاصله‌ی هندسی هر نقطه روی تابع شرایط حدی تا مبدأ در فضای نرمال استاندارد یک عدد صحیح است که وابسته به مقدار میانگین و انحراف معیار آن نقطه دارد (شکل ۱)، لذا براساس تعریف شاخص قابلیت اعتماد را می‌توان به عنوان یک مسئله‌ی بهینه‌سازی به صورت زیر نوشت:

$$\beta = \min_{U \in G(U)=0} (U^T \cdot U)^{1/2} \quad (2)$$



شکل ۱ نمایش شاخص قابلیت اعتماد HL [2]

از این‌رو، احتمال خرابی براساس رابطه‌ی زیر تعریف می‌گردد:

$$P_f = P[G(R - Q) < 0] = \int_{G(R-Q) \leq 0} f_X(X) dX \quad (3)$$

$$P_f = 1 - \Phi(\beta) = \Phi(-\beta)$$

در رابطه‌ی فوق  $P_f$  احتمال خرابی سازه  $\Phi$  تابع توزیع تجمعی نرمال استاندارد،  $G(U)$  تابع شرایط حدی در فضای نرمال استاندارد،  $0 < (U)$  ناحیه‌ی خرابی (ناحیه‌ای که بار وارد بر آن بیشتر از مقاومت سازه است) و  $f_X(X)$  تابع چگالی توأم متغیرهای تصادفی پایه  $X$  می‌باشد. براساس بسط تیلور تابع شرایط حدی در فضای نرمال استاندارد حول نقطه‌ی

## مقدمه

سیستم‌های مهندسی، غالباً شامل یک سری عدم اطمینان‌ها از جمله عدم قطعیت در مدل به‌علت عدم تطابق مدل تحلیلی و مدل اجرایی، عدم اطمینان به‌علت عوامل انسانی و طبیعی که معمولاً در حین طراحی، محاسبه، ساخت و بهره‌برداری یک سیستم ایجاد می‌شوند و عدم قطعیت به‌علت جنبه‌های ناشناخته‌ی یک سازه برخوردار می‌باشد. تعدادی از این عدم اطمینان‌ها را می‌توان به کمک روش‌های آماری و احتمالاتی مورد بررسی قرار داد. در طراحی مقاومت اعضا نظری مدل ارجاعی یک عضو، بارهای وارد بر سیستم مانند بار مرده، زنده، برف و بار زلزله و... و همین‌طور ابعاد مدل سازه‌ی تحلیلی که ممکن است با سازه واقعی انطباق نداشته باشد، همگی عدم اطمینان وجود دارد. هم‌چنین ممکن است مشخصه‌های آماری مانند میانگین و واریانس داده‌های حاصل از آیینه‌نامه که برای طراحی و تحلیل مورد استفاده قرار می‌گیرد با شرایط منطقه و جامعه آماری در نظر گرفته شده منطبق نباشد. از این‌رو، تحلیل قابلیت اعتماد سازه‌ها می‌تواند یکی از تکنیک‌های مناسب برای ارزیابی این عدم اطمینان‌ها باشد که براساس تعریف تابع شرایط حدی خرابی یک عضو سازه‌ای انواع عدم قطعیت‌ها را در مدل تحلیلی در نظر گرفت و در مورد امکان قابلیت بهره‌برداری آن عضو سازه تصمیم‌گیری نمود.

روش اولین مرتبه‌ی شاخص قابلیت اعتماد، روشی بسیار توانا برای تعیین احتمال خرابی سازه می‌باشد. Lind و Hasofer این روش در سال ۱۹۷۴ توسط جهت تعیین شاخص قابلیت اعتماد ( $\beta$ ) بیان شد [1].  
بنابراین این روش اولین مرتبه‌ی شاخص قابلیت اعتماد است. Lind و Hasofer کمترین فاصله‌ی تابع شرایط حدی تا مبدأ در دستگاه نرمال استاندارد، شاخص قابلیت اعتماد معرفی شد. به‌طور کلی فضایی با  $n$  متغیر تصادفی مستقل با توزیع احتمال نرمال و تابع شرایط حدی  $G(X) = G(\{x_1, x_2, \dots, x_n\}^T)$ ، متغیرهای تصادفی در فضای نرمال استاندارد به صورت

نمودند [6].

در این تحقیق ابتدا بنا به تعریف Lind و Hasofer فرمولاسیون گرادیان مزدوج برای محاسبهٔ شاخص قابلیت اعتماد ارائه می‌گردد. دو روش گرادیان مزدوج غیرخطی ارائه شده توسط Reeves & Fletcher [7] و FR Dai & Yuan [8] که در این مقاله تحت عنوان FR و DY می‌شناسیم، ارائه گردیده است. به علت تجمع خطای بردار امتداد جستجو روش‌های گرادیان مزدوج، ممکن است واگرا گردد. از این‌رو، براساس الگوریتم بهینه‌سازی ترکیبی جدیدی روش‌های FR و DY بهبود بخشیده شده است. کارایی روش‌های FR و DY و روش‌های اصلاح شده‌ی آن‌ها با ذکر چندین مثال سازه‌ای بررسی شده است. کارایی و توانایی روش‌های گرادیان مزدوج غیرخطی جدید با روش‌های قدیمی مقایسه می‌گردد.

### فرمولاسیون گرادیان مزدوج غیرخطی FR و DY

تابع طراحی در فضای نرمال استاندارد هر مسئلهٔ قابلیت اعتماد متشکل از تمامی متغیرهای تصادفی در قيد مسئله، به صورت رابطهٔ زیر تعریف می‌شود.

$$f(U) = \frac{1}{2}(U^T U)^2 + \xi G(U), \quad \beta = (U^T U)^{1/2} \quad (6)$$

که در آن  $\xi$  ضریب جریمه تابع شرایط حدی می‌باشد. براساس رابطهٔ ریاضی فوق مقدار ضریب جریمه به مقادیر متغیرهای تصادفی وابسته است و در هر گام تکرار به صورت دینامیکی تعریف می‌گردد. شرایط لازم برای کمینه کردن تابع فوق این است که مشتق تابع نسبت به متغیرهای تصادفی برابر با صفر گردد لذا مقدار ضریب جریمه به صورت زیر نوشته می‌شود [9].

$$\frac{\partial f(U)}{\partial U_i} = 0 \Rightarrow U_i + \xi \frac{\partial G(U)}{\partial U_i} = 0 \\ \xi = -\frac{\nabla^T G(U_i) U_i}{\nabla^T G(U_i) \cdot \nabla G(U_i)} \quad (7)$$

طراحی، مقدار شاخص قابلیت اعتماد توسط Hasofer و Lind محاسبه شد. عیب روش Hasofer و Lind این است که براساس رابطهٔ (1)، فقط توانایی تحلیل متغیرهای تصادفی نرمال را دارد. برای متغیرهای تصادفی که ممکن است توزیع احتمال غیر نرمال داشته باشند، Rakwitz روش Hasofer و Lind به‌نحوی بهبود بخشید که با حفظ ماهیت توزیع متغیر تصادفی، بتوان تابع توزیع را در نقطهٔ طراحی نرمال درنظر گرفت [3] او روابط زیر را برای محاسبهٔ مقدار معادل میانگین و انحراف معیار تابع توزیع غیر نرمال ارائه نمود.

$$\sigma_x^e = \frac{1}{f_X(x^*)} \phi[\Phi^{-1}\{F_X(x^*)\}] \quad (4)$$

$$\mu_x^e = x^* - \sigma_x^e \Phi^{-1}[F_X(x^*)] \quad (5)$$

در روابط فوق  $\phi$  مقدار تابع توزیع احتمال نرمال و  $F_X(x^*)$  و  $f_X(x^*)$  به ترتیب مقدار تابع توزیع احتمال تجمعی و تابع توزیع احتمال متغیر تصادفی  $x$  در نقطهٔ  $x^*$  و  $\mu_x^e$  و  $\sigma_x^e$  به ترتیب مقدار میانگین و انحراف معیار معادل نرمال می‌باشد.

چندین روش بهینه‌سازی ریاضی از جمله بردار گرادیان، ضرایب لاگرانژ و روش Rakwitz توسط Liu و Kiureghian برای محاسبهٔ شاخص قابلیت اعتماد ارائه و با یکدیگر مقایسه شده‌اند [4]. با حذف نوسانات نقطهٔ طراحی در همگرایی بردار طراحی، روش Rakwitz برای محاسبهٔ شاخص قابلیت اعتماد، توسط Lee. O. J. و همکاران بهبود بخشیده شد [5]. آن‌ها بردار طراحی جدید را براساس میانگین گیری از بردار طراحی قبلی و بردار طراحی جدید به دست آمده G. Cheng et al. Rakwitz بهبود بخشیدند. یک روش مؤثر برای تعیین شاخص قابلیت اعتماد براساس روش بهینه‌سازی برنامه‌ریزی غیرخطی ارائه

می‌شود [۸, ۱۰, ۱۱].

$$\theta_k^{DY} = \frac{|\nabla f(U_k)|^2}{d_{k-1}^T [\nabla f(U_k) - \nabla f(U_{k-1})]} \quad (11)$$

براساس روابط فوق آنچه که در تعیین بردار امتداد جستجو مهم به نظر می‌آید، مقدار بردار گرادیان تابع هدف روابط (۷ و ۶) مقدار بردار گرادیان تابع هدف به صورت زیر بیان می‌گردد:

$$\nabla f(U_k) = U_k - \left\{ \frac{(\nabla^T G(U_k) U_k) \nabla G(U_k)}{|\nabla G(U_k)|^2} \right\} \quad (12)$$

در هر تکرار گرادیان مزدوج با استی طول گام به صورت بهینه انتخاب گردد تا نتایج همگرایی ثابتی از روش‌های بهینه‌سازی حاصل گردد. در این تحقیق از شرایط طول گام بر مبنای روابط ارائه شده توسط Wolfe در روش‌های FR و DY و همچنین روش‌های تصحیح شده‌ی آنها استفاده شده است [۹, ۱۱-۱۳]:

$$f(U + \alpha_k d_k) - f(U) \leq \delta \alpha_k \nabla^T f(U_k) d_k \quad (13)$$

در آن  $\delta < 0$  در نظر گرفته می‌شود. مقدار طول گام بر مبنای شرایط ارائه شده Wolfe مطابق روابط (۱۴ و ۱۳) به صورت زیر نوشته می‌شود:

$$f(U) = \frac{1}{2}(U^T U)^2 - \frac{\nabla^T G(U) \cdot U}{\nabla^T G(U) \cdot \nabla G(U)} G(U) \quad (17)$$

از آنجایی که تابع شرایط حدی  $G(U)$  همواره برابر با صفر است لذا با جایگذاری رابطه‌ی فوق در معادله (۱۳) داریم که:

$$\beta_{k+1}^2 - \beta_k^2 \leq 2\delta \alpha_k \nabla^T f(U_k) d_k \Rightarrow \alpha_k \geq \frac{\beta_{k+1}^2 - \beta_k^2}{2\delta \nabla^T f(U_k^*) d_k} \quad (16)$$

که در آن  $U_i$  نقطه‌ی طراحی و  $(U_i)_{G}$  بردار گرادیان تابع شرایط حدی در نقطه‌ی طراحی است. براساس روش‌های تکراری ریاضی، هدف کمینه کردن تابع  $f$  است لذا براساس یک الگوریتم بهینه‌سازی مقدار جدید بردار طراحی به صورت رابطه‌ی زیر نوشته می‌شود:

$$U_{k+1} = U_k + \alpha_k d_k \quad (8)$$

که در آن مقدار  $U_0$  نقطه شروع تکرار  $U_{k+1}$  مقدار بردار طراحی در گام  $k+1$  طول گام و  $d_k$  بردار امتداد جستجو می‌باشد. در روش بهینه‌سازی تندترین کاهش برای جستجو در هر گام تکرار براساس بردار گرادیان قابل محاسبه است اما در روش گرادیان مزدوج برای جستجو به صورت غیرخطی بر مبنای بردار گرادیان قابل محاسبه است. روش گرادیان مزدوج یک روش کارا جهت تعیین مقدار بهینه تابع است [۷, ۸]. یکی از ارکان اصلی همگرایی در این روش، تعیین جهت جستجوی مناسب می‌باشد. در صورتی که بردار امتداد جستجو صحیح محاسبه نشود این روش همگرا نمی‌شود و یا به نقطه کمینه موضعی همگرا می‌گردد [۱۱]. افراد زیادی بر روش‌های بهینه‌سازی غیرخطی مبنی بر بردار گرادیان تحقیق کرده‌اند [۷-۱۱]. در این روش بردار امتداد جستجو به صورت زیر تعیین می‌گردد:

$$d_k = \begin{cases} -\nabla f(U_k) & k = 0 \\ -\nabla f(U_k) + \theta_k d_{k-1} & k \geq 1 \end{cases} \quad (9)$$

اختلاف روش‌های گرادیان مزدوج در محاسبه مقدار ضریب امتداد جستجوی  $\theta_k$  می‌باشد که مقدار Fletcher-Reeves  $\theta_k$  براساس روابط ارائه شده توسط (FR) و [۷, ۱۱] به صورت زیر ارائه شده است

$$\cdot \theta_k^{FR} = \frac{|\nabla f(U_k)|^2}{|\nabla f(U_{k-1})|^2} \quad (10)$$

و برای روش Dai-Yuan (DY) به صورت زیر نوشته

$$\theta_k^M = \begin{cases} \theta_k & \text{if } |\theta_k| \leq c \\ 0 & \text{if } |\theta_k| > c \end{cases} \quad (20)$$

در رابطه‌ی فوق  $c$  یک عدد مثبت صحیح می‌باشد ( $c > 0$ ) که توسط کاربر تعريف می‌گردد و با توجه به نوع مسئله مقدار آن متغیر است (نگارندگان مقدار  $c$  را برای مسائل قابلیت اعتماد عدد صحیحی بین ۱ تا ۶ پیشنهاد می‌کنند). نکته‌ی اساسی در نرخ همگرایی روش‌های گرادیان مزدوج مورد بررسی انتخاب این پارامتر است.

این محدودیت کترل‌کننده‌ی بردار امتداد جستجوی مزدوج است. با افزایش ضریب بردار امتداد جستجو براساس تعريف گرادیان مزدوج غیرخطی ممکن است مسائل قابلیت اعتماد واگرا گردند اما کترل بردار امتداد جستجو براساس ضریب مزدوج رابطه‌ی (۹) امکان پذیر است و امکان دارد که همگرایی مسئله را موجب شود. لذا با توجه روابط (۲۰ و ۹) می‌توان بردار امتداد جستجو را در رویه‌ی گرادیان مزدوج غیرخطی بهصورت زیر بیان نمود:

$$d_k = \begin{cases} -\nabla f(U_k) & k = 0, |\theta_k| > c \\ -\nabla f(U_k) + \theta_k d_{k-1} & k \geq 1, |\theta_k| \leq c \end{cases} \quad (21)$$

با توجه به روابط فوق، الگوریتم حل مسائل قابلیت اعتماد براساس روش جدید ارائه شده بهصورت زیر بیان می‌گردد:

- ۱- تعیین تابع شرایط حدی بهصورت استاندارد.
- ۲- حدس مقادیر اولیه  $k=0$  و بردار طراحی بهصورت
- ۳- تصحیح متغیرهای طراحی براساس ارضای تابع شرایط حدی ( $G(X) = 0$ ).
- ۴- محاسبه‌ی مقدار میانگین و انحراف معیار معادل متغیرهای تصادفی مطابق روابط (۵ و ۴).
- ۵- محاسبه‌ی بردار طراحی در فضای نرم‌الاستاندارد مطابق رابطه‌ی (۱).
- ۶- محاسبه‌ی گرادیان تابع شرایط حدی در نقطه‌ی

بسط تیلور تابع شرایط حدی حول مقدار جدید نقطه‌ی طراحی بهصورت زیر نوشتہ می‌شود:

$$G(U_k^* + \alpha_k d_k) + \nabla^T G(U_k^* + \alpha_k d_k) \alpha_k d_k = 0 \quad (17)$$

براساس رابطه‌ی فوق مقدار بردار گرادیان حول نقطه‌ی جدید بهصورت رابطه‌ی زیر بیان می‌شود:

$$\nabla^T G(U_k^* + \alpha_k d_k) = -\frac{G(U_k^* + \alpha_k d_k)}{\alpha_k |d_k|^2} d_k^T \quad (18)$$

با جایگذاری رابطه‌ی (۱۸) در معادله‌ی (۱۴) مقدار طول گام بهصورت زیر ارائه می‌گردد:

$$\frac{G(U_k^* + \alpha_k d_k)}{\alpha_k} \leq \sigma \nabla^T f(U_k) d_k \Rightarrow \alpha_k \geq \frac{G(U_k^* + \alpha_k d_k)}{\sigma \nabla^T f(U_k) d_k} \quad (19)$$

از آنجایی که مقدار تابع شرایط حدی بهازای مقدار جدید بردار طراحی برابر با صفر است لذا طول گام بایستی همواره  $\alpha_k \geq 0$  باشد.

## روش اصلاح‌شده‌ی جدید جهت تحلیل قابلیت اعتماد سازه‌ها

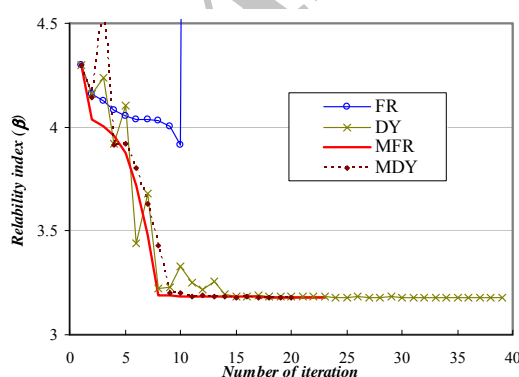
روش‌های گرادیان مزدوج غیرخطی بهعلت تجمع خطای حاصل در بردار امتداد جستجو ممکن است گاه در مسائل غیرخطی واگرا گردد. در این روش‌ها با توجه به این‌که، براساس مراحل قبلی بردار امتداد جستجو تعیین می‌گردد علاوه بر افزایش سرعت تحلیل مسئله ممکن است، ضریب بردار امتداد جستجو افزایش یابد ( $\theta_k > 10$ ). افزایش ضریب امتداد جستجو گاه موجب واگرایی مسائل قابلیت اعتماد می‌گردد. از این‌رو، در این تحقیق با تصحیح مناسب بردار امتداد جستجو، همگرایی روش‌های گرادیان مزدوج غیرخطی تضمین شده است. لذا یک روش ترکیبی جدید برای تصحیح بردار امتداد جستجو تعريف شده که محدودکننده‌ی مقدار ضریب امتداد جستجو در هر تکرار مزدوج می‌باشد. در این روش ضریب امتداد جستجو ( $\theta_k$ ) روش‌های FR و DY بهصورت رابطه‌ی زیر بیان می‌گردد:

تابع شرایط حدی این تیر براساس شرایط بهره‌برداری جایی با مقدار مجاز  $L/360$  به صورت ذیل نوشه می‌شود [14]:

$$G(w, E, I) = \frac{L}{360} - 0.0069 \frac{wL^4}{EI} \quad (22)$$

این مسئله شامل ۳ متغیر تصادفی با تابع توزیع نرمال می‌باشد. بار گستردۀ روی تیر ( $W$ ) با میانگین  $10\text{KN/m}$  و انحراف معیار  $4\text{KN/m}^2$ ، مدول الاسیستیه تیر ( $E$ ) با میانگین  $2 \times 10^7 \text{KN/m}^2$  و انحراف معیار  $5 \times 10^7 \text{KN/m}^2$  و ممان اینرسی مقطع تیر ( $I$ ) با میانگین  $8 \times 10^{-4} \text{m}^4$  و انحراف معیار  $1/5 \times 10^{-4} \text{m}^4$  می‌باشد.

شکل (۳) تاریخچه همگرایی مثال (۱) را نشان می‌دهد. روش گرادیان FR در این مثال همگرا نشده است اما روش‌های اصلاح شده با تعداد تکرار کمتری نسبت به روش‌های قدیمی همگرا شده‌اند. مشخص است که روش‌های اصلاح شده با تعداد تکرار نزدیک به هم همگرا گردیده‌اند. مقدار نقاط طراحی مطابق با جدول (۱) به دست آمده است. نتایج نشان می‌دهد که نقاط طراحی دو روش ارائه شده اختلاف چندانی ندارد. در این جدول MFR و MDY به ترتیب بیانگر روش اصلاح شده FR و DY است.



شکل ۳ تاریخچه همگرایی مثال ۱

طراحی ( $\nabla G(U_k^*)$ ).

۷- محاسبه گرادیان تابع هدف مطابق با رابطه (۱۲).

۸- محاسبه مقدار ضریب طول گام روش FR مطابق

رابطه (۱۰) و روش DY مطابق با رابطه (۱۱).

۹- محاسبه بردار امتداد جستجو مطابق رابطه (۲۱).

اگر  $d_k = -\tilde{N}f(U_k)$  و  $|d_k| > c$  در غیر

این صورت  $d_k = -\tilde{N}f(U_k) + \theta_k d_{k-1}$

۱۰- محاسبه طول گام مطابق با رابطه (۱۶).

۱۱- محاسبه مقدار جدید بردار طراحی مطابق با رابطه (۸).

۱۲- محاسبه مقدار شاخص قابلیت اعتماد به صورت

$$\beta_{k+1} = (U_{k+1}^T \times U_{k+1})^{1/2}$$

۱۳- کنترل همگرایی مسئله  $|\beta_{k+1} - \beta_k| \leq 10^{-6}$  در

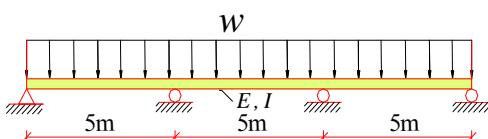
صورت همگرا شدن توقف رویه تکرار.

۱۴- تعویض  $k=k+1$  و بازگشت به مرحله ۳.

### مثال‌های عددی

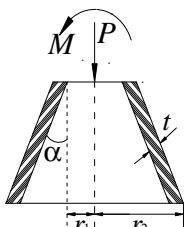
در این مقاله از پنج مثال سازه‌ای برای بررسی کارایی و توانایی روش‌های گرادیان مزدوج غیرخطی اصلاح شده استفاده شده است. برای تعیین شاخص قابلیت اعتماد برنامه‌ای به زبان MATLAB تدوین شده است که توانایی تحلیل مسائل قابلیت اعتماد را با هر نوع تابع توزیع احتمال دارد. مقدار ضریب کنترل طول گام ( $c$ ) برای روش‌های MFR و MDY به ترتیب برابر با ۱ و ۵ درنظر گرفته شده است.

**مثال ۱.** مطابق با شکل (۱) تیر یکسره سه‌دهانه را با طول دهانه‌های مساوی برابر با ۵ متر تحت بار گستردۀ یکنواخت در نظر می‌گیریم [14].



شکل ۲ تیر یکسره تحت بار گستردۀ یکنواخت

**مثال ۳.** دودکش‌های ساختمانی سازه‌ی مخروطی شکل است که تحت بار محوری  $P$  و لنگر خمی  $M$  مطابق با شکل زیر می‌باشد.



شکل ۶ سازه مخروطی مثال ۳ [16]

عدم پایداری یکی از عواملی است که می‌تواند موجب خرابی این سازه گردد. لذا براساس تحلیل پوسته‌ها و امکان کمانش پوسته، تابع شرایط حدی خرابی آن را می‌توان به صورت زیر بیان نمود [16]:

$$G(M, P) = 1 - \frac{\sqrt{3(1-v^2)}}{\pi Et^2 \cos^2 \alpha} \times \left( \frac{P}{2\gamma} + \frac{M}{\eta \tau} \right) \quad (24)$$

که در آن ضرایب  $\gamma$  و  $\eta$  به ترتیب ضریب تطبیق نیروی محوری و لنگر خمی بین نتایج آزمایشگاهی و تحلیلی است و برابر با  $0/33$  و  $0/41$  ارائه شده است [16] و  $v$  ضریب پواسون برابر با  $0/3$  می‌باشد. این مسئله دارای ۶ متغیر تصادفی نرمال غیر وابسته می‌باشد که خصوصیات آماری آنها در جدول (۴) ارائه شده است.

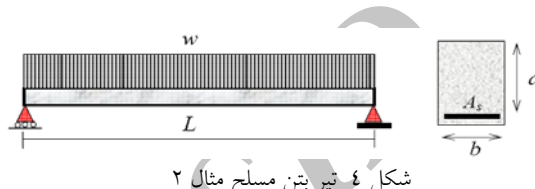
شکل (۷) نتایج مربوط به تاریخچه‌ی همگرایی شاخص قابلیت اعتماد مثال (۳) را نشان می‌دهد در این مثال روش‌های FR و اصلاح شده FR با تعداد تکرار برابر همگرا شده‌اند. روش‌های اصلاح شده FR و DY در این مثال همگرا شده‌اند اما روش MFR با تعداد تکرار کمتری نسبت به روش MDY همگرا شده است. جدول (۵) نتایج مربوط به نقاط طراحی مثال (۳) بعد از همگرا شدن روش‌های پیشنهادی را نشان می‌دهد. این روش‌ها توانایی تحلیل مسائل قابلیت اعتماد را دارد که با کنترل ضریب گرادیان مزدوج حاصل می‌گردد.

جدول ۱ نقاط طراحی مثال ۱

متغیر	W	E	I
MFR	۱۰/۰۴۳۲۸	۴۳۹۴۵۳	۰/۰۰۰۷۱۴
MDY	۱۰/۰۴۳۶۴	۴۳۷۱۱۸۱	۰/۰۰۰۷۱۳

**مثال ۲.** یک تیر بتن مسلح مطابق با شکل زیر را در نظر بگیرد.

براساس حداقل ظرفیت خمی در وسط دهانه‌ی وارد بر تیر تابع شرایط حدی ظرفیت مقطع نشان داده شده تعریف می‌گردد [15]:

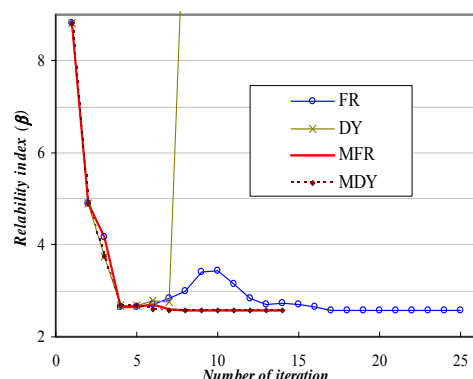


شکل ۴ تیر بتن مسلح مثال ۲

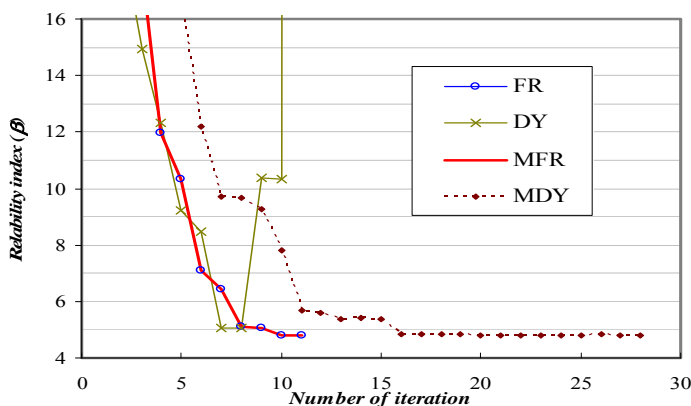
$$G(X) = A_s f_y (d - 0.59 \frac{A_s f_y}{b f_c}) - \frac{w l^2}{8} \quad (23)$$

این مسئله شامل ۷ متغیر تصادفی است که خصوصیات آماری آنها در جدول (۲) درج شده است.

در شکل (۵) و جدول (۳) به ترتیب تاریخچه‌ی همگرایی شاخص قابلیت اعتماد و مقدار نقاط طراحی به دست آمده در روش‌های پیشنهادی ارائه شده است. شکل (۵) نشان می‌دهد که هر دو روش اصلاح شده‌ی پیشنهادی در این مثال همگرا می‌گردد. اگرچه روش FR همگرا گردیده اما با تعداد تکرار بیشتری نسبت به روش اصلاح شده MFR همگرا شده است.



شکل ۵ تاریخچه‌ی همگرایی مثال ۲



شکل ۷ تاریخچه‌ی همگرایی مثال ۳

جدول ۲ خصوصیات آماری متغیرهای تصادفی مثال ۲

متغیر	w(N/mm)	L(mm)	d(mm)	b(mm)	$f_c$ (MPa)	$f_y$ (MPa)	$A_s$ (mm <sup>2</sup> )
توزیع	گامبل	نرمال	نرمال	نرمال	لوگ-نرمال	لوگ-نرمال	نرمال
میانگین	۶۰	۵۰۰۰	۵۰۰	۳۵۰	۲۵	۳۵۰	۲۵۰۰
انحراف معیار	۷/۲	۵۰۰	۵۰	۳۵	۳/۷۵	۳۵	۲۵۰

جدول ۳ نقاط طراحی مثال ۲

متغیر	w(N/mm)	L(mm)	d(mm)	b(mm)	$f_c$ (MPa)	$f_y$ (MPa)	$A_s$ (mm <sup>2</sup> )
MFR	۶۷/۲۱۴۷	۵۸۰-۶/۳۱۹	۴۳۹/۲۶۶	۳۴۵/۵۳۹	۲۴/۰۴۰۸	۳۲۱/۲۳۲	۲۲۷۶/۵۷۲
MDY	۶۷/۲۱۹۳	۵۸۰۷/۷۰۹	۴۳۹/۴۷۴	۳۴۵/۵۴۳	۲۴/۰۴۱۴	۳۲۱/۱۹۸	۲۲۷۶/۸۲۶

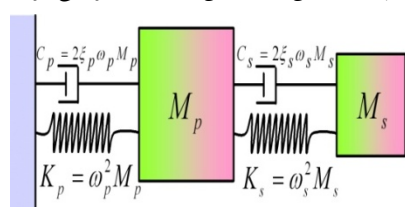
جدول ۴ خصوصیات آماری متغیرهای تصادفی مثال ۳

متغیر	P(N)	M (N- m)	$r_l$ (m)	$\alpha$ (rad)	t (m)	E(MPa)
میانگین	۷۰۰۰۰	۸۰۰۰۰	۰/۹	۰/۵۲۴	۰/۰۰۲۵	۷۰۰۰۰
ضریب تغیرات	۰/۰۸	۰/۰۸	۰/۰۲۵	۰/۰۲	۰/۰۵	۰/۰۵

جدول ۵ نقاط طراحی مثال ۳

متغیر	P(N)	M (N- m)	$r_l$ (m)	$\alpha$ (rad)	t (m)	E(MPa)
MFR	۷۴۳۵۱/۰۵	۹۰۰۵۷/۲۸	۰/۸۸۷۵۲	۰/۵۲۸۱۸	۰/۰۰۱۹۹	۶۴۱۲۶/۳۶
MDY	۷۴۱۴۱/۵۱	۹۰۱۷۱/۹۲	۰/۸۸۷۲۱	۰/۵۲۸۱۵	۰/۰۰۱۹۸۹	۶۴۱۸۲/۲۹

مثال ۴. مطابق با سیستم دو درجه آزادی نشان داده شده در شکل (۸) خواص آن به صورت جرم‌های متمنک  $M_p$  و  $M_s$ ، سختی فرنهای  $K_p$  و  $K_s$ ، فرکانس‌های طبیعی  $\omega_p$  و  $\omega_s$  و ضرایب



شکل ۸ نمایش سیستم دو درجه آزادی مثال ۴

میرایی  $\omega_p$  و  $\omega_s$  تعريف می‌گردد که اندیس‌های p و

$$\omega_s = \sqrt{\frac{K_s}{M_s}} \quad \omega_p = \sqrt{\frac{K_p}{M_p}}$$

که در آن  $P$  ضریب بزرگنمایی است و مقدار آن را برابر با  $3$  در نظر می‌گیریم. این مثال شامل  $8$  متغیر تصادفی لوگ-نرمال غیر وابسته است که خصوصیات آماری آن‌ها در جدول زیر ارائه شده است.

شکل (۹) و جدول (۷) به ترتیب تاریخچه‌ی همگرایی و مقدار نقاط طراحی همگرا شده در برنامه‌ی کامپیوتری را نشان می‌دهد. با توجه به شکل (۹) مشاهده می‌شود که روش‌های FR و DY همگرا نشده‌اند ولی هر دو روش جدید اصلاح شده MFR و MDY همگرا گردیده‌اند. این مثال کارایی روش‌های پیشنهادی را نشان می‌دهد به‌طوری که روش‌های اصلاح شده‌ی پیشنهادی با مقدار بردار طراحی نزدیک بهم همگرا شده‌اند. اما سرعت همگرایی روش MFR نسبت به روش MDY بیشتر است زیرا با تعداد تکراری کمتری همگرا شده است.

میانگین توان دوم جابه‌جایی فنر دومی این سیستم دو درجه آزادی به صورت زیر حاصل شده است [۱۷]:

$$E[X_s^2] = \frac{\pi S_0}{4\xi_a \omega_a} \left[ \frac{\xi_p \xi_s}{(4\xi_a^2 + \theta^2) + \xi_s^2} \times \frac{(\xi_p \omega_p^3 + \xi_s \omega_s^3) \omega_p}{4\xi_a \omega_a^4} \right] \quad (25)$$

که در آن  $S_0$  تابع چگالی نویز سفید است،  $\omega_p + \omega_s = \frac{M_s}{M_p}$  ضریب جرم و  $\omega_a = \frac{M_s}{M_p}$  میانگین فرکانسی و  $\theta = \frac{\omega_p - \omega_s}{\omega_a}$  میانگین ضریب میرایی دو سیستم است و  $\theta = \frac{\omega_p - \omega_s}{\omega_a}$  تعريف می‌گردد [۱۷]. تابع شرایط حدی براساس نیروی حداقل فنر جرم دومی به صورت رابطه‌ی زیر بیان می‌شود:

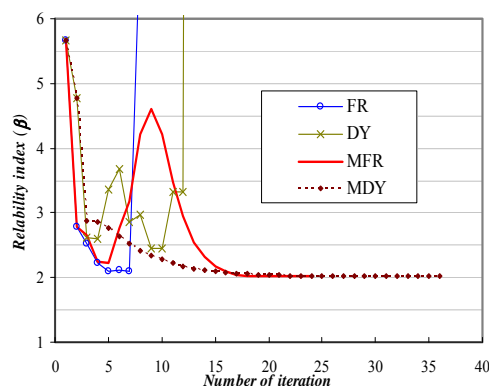
$$G(F) = F_s - K_s \times P(E[X_s^2])^{1/2} \quad (26)$$

جدول ۶ خصوصیات آماری متغیرهای تصادفی مثال ۴

$S_0$	$F_s$	$\xi_s$	$\xi_p$	$K_s$	$K_p$	$M_s$	$M_p$	متغیر
۱۰۰	۱۵	۰/۰۲	۰/۰۵	۰/۰۱	۱	۰/۰۱	۱	میانگین
۱۰	۱/۵	۰/۰۱	۰/۰۲	۰/۰۰۲	۰/۲	۰/۰۰۱	۰/۱	انحراف معیار

جدول ۷ نقاط طراحی مثال ۴

$F_s$	$S_0$	$\xi_s$	$\xi_p$	$K_s$	$K_p$	$M_s$	$M_p$	متغیر
۱۳/۷۳۱	۱۰۳/۷۰	۰/۰۱۲۱۱	۰/۰۲۷۹۸	۰/۰۱۱۱۴	۱/۱۰۱۵	۰/۰۱۰۹	۱/۰۰۱۸۰	MFR
۱۳/۷۰۰	۱۰۳/۷۷	۰/۰۱۲۱۳	۰/۰۲۸۰۶	۰/۰۱۱۱۴	۱/۱۰۰۷	۰/۰۱۰۹	۱/۰۰۱۷۵	MDY



شکل ۹ تاریخچه‌ی همگرایی مثال ۴

صفحه با در نظر گرفتن شرایط تکیه‌گاهی متفاوت محاسبه می‌شود [18]. با استفاده از رابطه‌ی (۲۸) تابع شرایط حدی صفحه را می‌توان به صورت زیر بیان نمود:

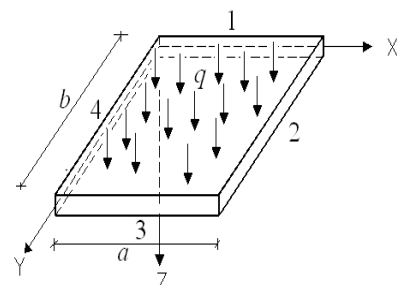
$$G(w) = \frac{a}{360} - \alpha \frac{qa^4}{D} \quad (29)$$

که بر مبنای حل ورق با شرایط مرزی مفصلی-گیردار و مفصلی-آزاد، مقدار محدود کننده جابه‌جایی در وسط لبه‌ی آزاد معادل  $0/a^3$  بیان می‌گردد. مشخصات آماری پارامترهای مختلف متغیر تصادفی در جدول (۸) ارائه شده است.

مقدار همگرا شده بردار طراحی برای روش‌های اصلاح شده گرادیان مزدوج غیرخطی مطابق با جدول (۹) می‌باشد.

شکل (۱۱) تاریخچه همگرایی شاخص قابلیت اعتماد مثال (۵) را نشان می‌دهد. در این شکل تاریخچه همگرایی روش‌های FR و MFR تا ۱۴ تکرار و DY و MDY تا ۲۱ تکرار مطابق هم می‌باشد اما به علت تجمع خطأ در بردار جستجوی امتداد و نیز معیار همگرایی در نظر گرفته شده دو روش FR و DY همگرا نشده و ناگهان واگرا می‌گردند ولی روش‌های اصلاح شده MDY و MFR همگرایی خود را حفظ می‌نمایند. در این مثال پایداری حل دو روش پیشنهادی نشان داده شده است.

**مثال ۵.** در این مثال یک صفحه مستطیلی ایزوتروپ را مطابق با شکل زیر تحت بار گسترده  $q$  را در نظر بگیرید.



شکل ۱۰ نمایش صفحه مستطیلی با شرایط انتهایی ۱-۲-۳-۴

براساس تئوری ورق‌های نازک معادله‌ی حاکم بر خمش صفحه به صورت رابطه‌ی زیر بیان می‌گردد [18]:

$$D\left(\frac{\partial^4 w}{\partial x^4} + 2\frac{\partial^2 w}{\partial^2 x \partial^2 y} + \frac{\partial^4 w}{\partial y^4}\right) = q \quad (27)$$

$$D = \frac{Et^3}{12(1-v^2)}$$

که در رابطه‌ی فوق  $w$  جابه‌جایی در جهت  $Z$  صفحه تحت بار خارجی  $q$  و  $D$  نشان‌دهنده‌ی سختی صفحه،  $E$  مدول ارتجاعی،  $t$  ضخامت ورق و  $v$  ضریب پواسون است. با استفاده از تکنیک‌های حل صفحات [16] جابه‌جایی آن را می‌توان به صورت زیر نوشت:

$$w = \alpha \frac{qa^4}{D} \quad (28)$$

ضریب  $\alpha$  مقداری است که براساس حل دقیق

جدول ۸ خواص آماری متغیرهای تصادفی مثال ۵

$v$	$t(m)$	$E(N/m^2)$	$q(N/m^2)$	$a(m)$	$\alpha$	متغیر
لوگ-نرمال	نرمال	نرمال	لوگ-نرمال	نرمال	لوگ-نرمال	توزیع
۰/۳	۰/۰۵	$۲\times 10^{11}$	۵۰۰۰	۳	۰/۰۱۱۲۳۶	میانگین
۰/۰۵	۰/۱	۰/۱	۰/۱	۰/۱	۰/۰۵	ضریب تغییرات

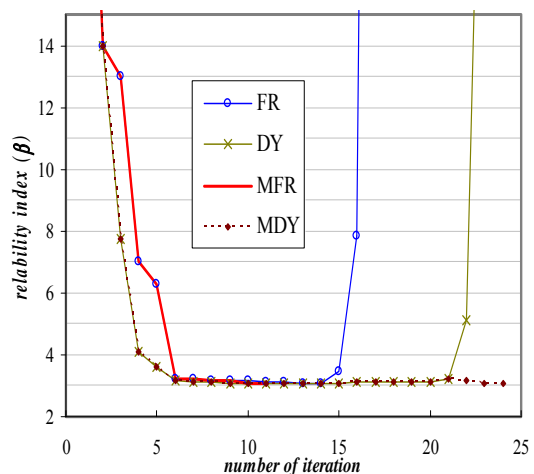
جدول ۹ نقاط طراحی مثال ۵

v	t(m)	E(N/m <sup>2</sup> )	q(N/m <sup>2</sup> )	a(m)	$\alpha$	متغیر
۰/۰۱۱۳۹۵	۰/۰۳۷۶۹	$۱/۸۷۹۳ \times 10^{11}$	۵۳۰۱/۱۸	۳/۴۸۵۲	۰/۲۹۸۶۹	MFR
۰/۰۱۱۳۹۰	۰/۰۳۷۵۸	$۱/۸۸۵۱ \times 10^{11}$	۵۲۸۷/۳۸	۳/۴۸۲۰	۰/۲۹۸۷۳	MDY

می‌گردد که ماهیت آن به روش گرادیان شبیه گردد. روش MDY به ازای ضریب ۵ و ۶ برای عمدۀ مثال‌های مورد بررسی با تعداد تکرار برابر همگرا شده است. این روش به ازای ضریب ۵ کمتر از ۴ بسیار حساس است به‌طوری که در مثال (۵) کمترین و بیشترین تعداد تکرار به ترتیب در مقدار ۵ برابر ۲ و ۱ نتیجه شده است. بعضی اوقات در این روش با افزایش مقدار ۵ تعداد تکرار کاهش می‌یابد مثال (۴ و ۳) اما در مثال (۱) عکس آن نتیجه شده است.

به طور کلی برای دو روش ارائه شده MFR و MDY بررسی مقدار ضریب کنترل بین ۱ تا ۳ پیشنهاد می‌گردد که این مثال‌ها، منجر به همگرایی گردیده‌اند. میانگین تعداد تکرار دو روش گرادیان مزدوج اصلاح شده (۵/۵) تعداد تکرار (MFR و MDY) به ازای ضریب کنترل یک، کمتر از سایر ضرایب کنترل نتیجه شده است. از این‌رو، به‌ترتیب ضریب کنترل انتخابی برای هر دو روش گرادیان مزدوج اصلاح شده (MDY و MFR) برابر با یک است.

در جدول (۱۱) مقایسه‌ای از شاخص قابلیت اعتماد روش‌های گرادیان مزدوج غیرخطی و نرم‌افزار FERUM [۱۹] ارائه شده است. همان‌طوری که قبل از ذکر شد مقدار ۵ به ازای روش‌های اصلاح شده MFR و MDY به ترتیب برابر با ۱ و ۵ در نظر گرفته شده است. اختلاف مقدار همگرا شده‌ی شاخص قابلیت اعتماد روش‌های ارائه شده، بسیار ناچیز است به‌طوری که بیشترین اختلاف بین آن‌ها در مثال (۵) در حدود



شکل ۱۱ تاریخچه‌ی همگرایی مثال ۵

با توجه به این‌که ضریب ۵ پارامتر مؤثری در روش‌های اصلاح شده مطرح است، در جدول (۱۰) مقایسه‌ای از حساسیت همگرایی روش‌های ارائه شده به پارامتر ۵ برای مثال‌های مورد بررسی ارائه شده است. روش پیشنهادی MFR به ازای مقدار ۵ برابر با ۱ تعداد تکرار کمتری نسبت به سایر مقادیر ۵ در مثال‌های مورد بررسی همگرا شده است. در این روش با افزایش ضریب ۵ از ۱ تا ۳ تعداد تکرار جهت همگرایی افزایش می‌یابد، به‌طوری که برای مثال (۴) به ازای ضریب ۵ بزرگ‌تر از ۳ همگرا نشده اما در سایر مثال‌ها با تعداد تکرار و مقدار شاخص قابلیت اعتماد یکسان همگرا شده است. به‌نظر می‌رسد که روش اصلاح شده FR با افزایش ضریب ۵ ( $>3$ ) موجب واگرایی و یا افزایش تعداد تکرار گردد. محدود کردن بیشتر بردار امتداد جستجو در روش FR موجب

حاصل از تحلیل به کمک الگوریتم ارائه شده با نتایج نرمافزار FERUM اختلافی ندارد. هم‌چنین روش‌های ارائه شده در این مقاله کارایی، توانایی و نیز دقت مناسبی در مقایسه با روش‌های FR و DY در تحلیل قابلیت اعتماد دارند. به علاوه نتایج حاکی از آن است که روش MFR نسبت به روش MDY در عمله مثال‌های مورد بررسی با تعداد تکرار کم‌تری همگرا شده است.

۰/۰۵ درصد نتیجه شده است و این امر کارایی و پایداری حل روش‌های ارائه شده جدید گرادیان مزدوج غیرخطی را نشان می‌دهد. عمدتاً در مثال‌های مورد بررسی می‌توان بیان نمود که روش FR نسبت به روش DY از کارایی و توانایی بیش‌تری برخوردار بوده است زیرا روش FR در مثال‌های (۳ و ۲) همگرا شده است ولی روش DY در ۱ مثال. الگوریتم گرادیان مزدوج غیرخطی ارائه شده می‌تواند به عنوان یک روش کارا و توانمند برای تحلیل قابلیت اعتماد سازه‌ها مورد استفاده قرار گیرد به طوری که شاخص قابلیت اعتماد

جدول ۱۰ مقایسه‌ی حساسیت تحلیل قابلیت اعتماد روش‌های MFR و MDY به پارامتر C در مثال‌های مورد بررسی

مثال	روش	معیارهای مقایسه	C					
			۱	۲	۳	۴	۵	۶
#۱	MFR	$\beta$	۳/۱۸۰۴۶۶	۳/۱۸۰۵۱۸	۳/۱۸۰۵۱۸	۳/۱۸۰۵۱۸	۳/۱۸۰۵۱۸	۳/۱۸۰۵۱۸
		تعداد تکرار	۲۳	۲۲	۲۲	۲۲	۲۲	۲۲
	MDY	$\beta$	۳/۱۸۰۶۷۸	۳/۱۸۰۶۷۸	۳/۱۸۰۵۰۹	۳/۱۸۰۵۰۹	۳/۱۸۰۵۰۹	۳/۱۸۰۵۰۹
		تعداد تکرار	۱۷	۱۷	۲۰	۲۰	۲۰	۲۰
#۲	MFR	$\beta$	۲/۵۶۶۲۹۳	۲/۵۶۶۴۲۰	۲/۵۶۶۴۸۸	۲/۵۶۶۴۸۸	۲/۵۶۶۴۸۸	۲/۵۶۶۴۸۸
		تعداد تکرار	۱۴	۱۸	۲۵	۲۵	۲۵	۲۵
	MDY	$\beta$	۲/۵۶۶۳۸۷	۲/۵۶۶۳۸۷	۲/۵۶۶۳۸۷	۲/۵۶۶۳۸۷	۲/۵۶۶۳۸۷	۲/۵۶۶۳۸۷
		تعداد تکرار	۱۴	۱۴	۱۴	۱۴	۱۴	۱۴
#۳	MFR	$\beta$	۴/۷۹۸۱۸۳	۴/۷۹۸۱۸۳	۴/۷۹۸۱۸۳	۴/۷۹۸۱۸۳	۴/۷۹۸۱۸۳	۴/۷۹۸۱۸۳
		تعداد تکرار	۱۱	۱۱	۱۱	۱۱	۱۱	۱۱
	MDY	$\beta$	۴/۷۹۸۵۰۴	۴/۷۹۶۵۷۷	۴/۷۹۸۸۳۹	۴/۷۹۸۵۴۶	۴/۷۹۸۵۴۶	۴/۷۹۸۵۴۶
		تعداد تکرار	۴۲	۴۲	۴۲	۳۶	۳۶	۳۶
#۴	MFR	$\beta$	۲/۰۱۶۴۹	۲/۰۱۶۵۳۱	۲/۰۱۶۴۹	همگرا نشد	همگرا نشد	همگرا نشد
		تعداد تکرار	۲۴	۱۷۷	۲۱۹	---	---	---
	MDY	$\beta$	۲/۰۱۶۷۴۱	۲/۰۱۶۷۴۱	۲/۰۱۶۷۴۱	۲/۰۱۶۷۴۲	۲/۰۱۶۷۴۲	۲/۰۱۶۷۴۲
		تعداد تکرار	۴۲	۴۲	۴۲	۳۶	۳۶	۳۶
#۵	MFR	$\beta$	۳/۰۸۹۵۰۷	۳/۰۹۰۴۴۸	۳/۰۸۹۳۴۱	۳/۰۸۹۳۴۱	۳/۰۸۹۳۴۱	۳/۰۸۹۳۴۱
		تعداد تکرار	۱۱	۱۸	۱۸	۱۸	۱۸	۱۸
	MDY	$\beta$	۳/۰۸۸۷۶	۳/۰۸۸۹۹۲	۳/۰۸۹۸۵۸	۳/۰۸۸۷۷۱	۳/۰۹۱۱۰۹	۳/۰۹۱۱۰۹
		تعداد تکرار	۸۸	۱۴	۶۸	۳۸	۲۴	۲۴

جدول ۱۱ مقایسه‌ی شاخص قابلیت اعتماد روش‌های گرادیان مزدوج (MDY( $c=5$ ) و MFR( $c=1$ ))

روش	#۱ مثال	#۲ مثال	#۳ مثال	#۴ مثال	#۵ مثال
MFR	۳/۱۸۰۴۶۶	۲/۵۶۳۹۳	۴/۷۹۸۱۸۳	۲/۰۱۶۴۹	۳/۰۸۹۵۵۷
FR	همگرا نشد	۲/۵۶۴۸۸	۴/۷۹۸۱۸۳	همگرا نشد	همگرا نشد
MDY	۳/۱۸۰۵۵۹	۲/۵۶۳۸۷	۴/۷۹۸۵۴۶	۲/۰۱۶۷۴۲	۳/۰۹۱۱۰۹
DY	۳/۱۸۰۴۸۴	همگرا نشد	همگرا نشد	همگرا نشد	همگرا نشد
FERUM	۳/۱۸۰۴۶۳	۲/۳۳۴۸۲۰	۴/۹۲۳۶۲۴	۱/۹۵۱۳۳۹	۳/۰۸۸۷۰۵

### خلاصه و نتیجه‌گیری

مورد ارزیابی قرار گرفته است. نتایج حاکی از آن است که بهترین مقدار ضریب کترل طول گام ( $c$ ) برای روش MFR برابر با ۱ است که به‌ازای این مقدار کمترین تعداد تکرار برای تمامی مثال‌های مورد بررسی، حاصل شده است. برای روش MDY مقدار  $c$  برابر با ۵ پیشنهاد می‌شود که به‌ازای این مقدار تعداد تکرار برای همگرایی از ثبات بیشتری نسبت به مقادیر  $c$  بین ۱ تا ۳ برخوردار است. به علاوه کارایی روش MFR نسبت به روش MDY بیشتر می‌باشد زیرا در عملده مثال‌های مورد بررسی با تعداد تکرار کمتری همگرا شده است.

در این مقاله دو نوع روش گرادیان مزدوج غیرخطی ارائه شده است و توانایی آن‌ها را در تحلیل مسائل قابلیت اعتماد براساس چندین مثال مورد بررسی قرار گرفته است. نتایج نشان می‌دهد که روش FR نسبت به روش DY از کارایی و سرعت همگرایی بیشتری برخوردار است اما این روش‌ها ممکن است در برخی از مسائل پیچیده با تابع شرایط حدی غیرخطی همگرا نشوند. از این‌رو، روش‌های FR و DY نیاز به اصلاح دارد که در این مقاله دو روش اصلاح شده تحت عنوان MFR و MDY معرفی گردیده است. این روش‌های جدید بر مبنای محدودیت پارامتر مقدار طول گام ( $c$ )، استوار‌اند و این پارامتر برای مثال‌های مختلف سازه‌ای،

### مراجع

- Hasofer, A. M. and Lind, N. C., "Exact and invariant second moment code format", *Journal of the Engineering Mechanics Division*, 100(EM1), Vol. 111, No. 21, (1974).
- Dhillon, B.S., "Reliability Quality, and Safety for Engineers", CRC Pres, (2005).
- Rackwitz, R. and Fiessler, B., "Structural reliability under combined load sequences", Computers and Structures, Vol. 9, pp.489–494 (1978).
- Liu, P. L. and Kiureghian, A. D., "Optimization algorithms for structural reliability", Structural Safety, Vol. 9, No. 3, pp. 161–78, (1991).
- Lee, J-O., Yang, Y-S. and Ruy, W-S., "A comparative study on reliability-index and target-

- performance-based probabilistic structural design optimization", *Computers and Structures*, Vol. 80, pp. 257–269, (2002).
6. Cheng, G., Xu. L. and Jiang. L., "A sequential approximate programming strategy for reliability-based structural optimization", *Computers and Structures*, Vol. 84, pp. 1353–1367, (2006).
  7. Fletcher, R. and Reeves, C., "Function minimization by conjugate gradients", *Computer journal*, Vol. 7, pp. 149–154, (1964).
  8. Dai. Y. H. and Yuan Y., "A nonlinear conjugate gradient method with a strong global convergence property", *Journal on Optimization*, Vol. 10, No. 1, pp. 177-182, (1999).
  9. Rao, S. S., "Engineering optimization, theory and practice", Wiley, New York, 1996
  10. Shi, Z. J. and Guo. J., "A new algorithm of nonlinear conjugate gradient method with strong convergence", *Computational and Applied Mathematics*, Vol. 27, No. 1, pp. 93-106, (2008).
  11. Dai, Y.H. and Yuan, Y., "Nonlinear Conjugate Gradient Methods", Shanghai Science and Technology Press, Shanghai, (2000).
  12. Dai, Y.H., Han, J.Y., Liu, G.H., Sun, D.F., Yin, H.X. and Yuan, Y., "Convergence properties of nonlinear conjugate gradient methods", *Journal on Optimization*, Vol. 10, pp. 345–358, (2000).
  13. Zhang, J., Xiao, Y., Zengxin, W., "Nonlinear Conjugate Gradient Methods with sufficient descent condition for large-scale unconstrained optimization", Hindawi Publishing Corporation Mathematical Problems in Engineering, (2009).
  14. Nowak, A. S. and Collins, K. R. "Reliability of Structures", McGraw-Hill, (2000).
  15. Castel, A., François, R. and Arliguie, G., "Mechanical behaviour of a reinforced concrete beams damaged by reinforcement steel corrosion – Part1: Experimental study of corroded beams", material structure, Vol. 33, No. 233, pp. 539-544, (2000).
  16. Elegbede, C., "Structural reliability assessment based on particles swarm optimization", Structural Safety, Vol. 27, PP. 171–186, (2005).
  17. Kiureghian A. D. and Stefano. M. D., "Efficient algorithm for second-order reliability analysis", *Journal of engineering mechanics*, Vol. 117, No. 12, pp. 2904-2923, (1991).
  18. Bhaskar, K. and Sivaram, A., "Untruncated infinite series superposition method for accurate flexural analysis of isotropic/orthotropic rectangular plates with arbitrary edge conditions", Composite Structures, Vol. 83, pp. 83–92, (2008).
  19. Kiureghian, A. D., Haukaas, T. and Fujimura, K., "Structural reliability at the University of California, Berkeley", structural safety, Vol. 28, pp. 44-67, (2006).